

## О конечной теплопроводности одномерной решетки ротаторов

© А.В. Савин, О.В. Гендельман\*

Государственный институт физико-технических проблем,  
119034 Москва, Россия  
E-mail: asavin@center.chph.ras.ru

\* Институт химической физики им. Н.Н. Семенова Российской академии наук,  
117977 Москва, Россия  
E-mail: ovgend@center.chph.ras.ru

(Поступила в Редакцию 28 марта 2000 г.  
В окончательной редакции 11 мая 2000 г.)

Изучается процесс переноса тепла в одномерной решетке связанных ротаторов, в которой ориентационное взаимодействие соседних звеньев описывается периодическим потенциалом. На этом примере впервые показано существование одномерных решеток без потенциала подложки, обладающих конечной теплопроводностью в термодинамическом пределе. С ростом температуры данная система переходит из состояния с бесконечной в состояние с конечной теплопроводностью. Конечность теплопроводности обусловлена существованием в решетке локализованных стационарных возбуждений, препятствующих теплопереносу. Время жизни и концентрация этих возбуждений растет с ростом температуры, что приводит к монотонному уменьшению коэффициента теплопроводности.

Работа выполнена при финансовой поддержке Российского фонда фундаментальных исследований (грант РФФИ № 98-03-333-66а). Один из авторов (А.В. Савин) выражает благодарность фонду INTAS-96-158 за частичную поддержку данного исследования.

Теплопроводность одномерной решетки является классической проблемой, связанной с обоснованием макроскопического закона теплопроводности Фурье (пропорциональности теплового потока градиенту температуры) на микроскопическом уровне. Аномалии теплопроводности в нелинейных системах хорошо известны со времен знаменитой работы Ферми, Паста и Улама [1]. В интегрируемых системах (гармоническая решетка, цепочка Тоды) и в системах близких к ним температурный градиент не образуется и закон Фурье не выполняется (системы обладают бесконечной теплопроводностью). Неинтегрируемость системы является необходимым условием для конечности теплопроводности [2]. В ряде последних работ на примере цепи Ферми–Паста–Улама (ФПУ) [3–5] и двухатомной цепи Тоды [6] было показано, однако, что сама по себе неинтегрируемость не гарантирует выполнение закона Фурье. Неинтегрируемость данных систем приводит к образованию линейного температурного градиента, но величина теплового потока пропорциональна не  $1/N$ , а  $1/N^\alpha$ , где  $0 < \alpha < 1$ , а  $N$  — безразмерная длина цепи. Таким образом, данные системы тоже обладают бесконечной теплопроводностью в термодинамическом пределе  $N \rightarrow \infty$ . Аналитические оценки [5], сделанные в приближении малоамплитудных деформаций, показывают, что любая одномерная цепочка, имеющая акустическую фононную ветвь должна обладать бесконечной теплопроводностью.

С другой стороны, существует ряд специально построенных одномерных неинтегрируемых систем [7,8], обладающих конечной теплопроводностью. В работах [9,10] была показана также конечность теплопроводности для модели Френкеля–Конторовой, а в [11] — для цепи с другими ангармоническими потенциалами подложки.

Здесь не только формируется линейный температурный градиент, но и величина теплового потока пропорциональна  $1/N$ . Существенной особенностью всех этих моделей является наличие внешнего потенциала, моделирующего взаимодействие цепи с подложкой. Эти системы не обладают трансляционной инвариантностью и в них не сохраняется полный импульс. В [6] сделано предположение, что наличие внешнего потенциала играет ключевую роль для конечности теплопроводности. Высказывается гипотеза о бесконечной теплопроводности всех изолированных одномерных решеток, где отсутствие внешних сил приводит к сохранению полного импульса системы.

Данная работа посвящена численному моделированию процесса переноса тепла в ранее не исследованной одномерной решетке с сохраняющимся импульсом (точнее говоря, моментом импульса) — цепочке одинаковых ротаторов с периодическим потенциалом взаимодействия ближайших соседей. В этой системе наблюдается переход от бесконечной к конечной теплопроводности с ростом температуры, что не противоречит основному результату работы [5], но опровергает сформулированную выше гипотезу. Показано, что такое поведение системы обусловлено возбуждением локализованных ротационных мод, концентрирующих тепловую энергию и являющихся эффективными рассеивателями фононов.

### 1. Модель

Примером одномерной решетки одинаковых ротаторов может служить линейная макромолекула, в которой кроме продольных деформаций возможны еще крутиль-

ные деформации (внутренние вращения вокруг жестких валентных связей). Здесь потенциал междоузельного взаимодействия оказывается периодической функцией (поворот одного звена на  $360^\circ$  переводит его в исходное состояние).

В качестве модели удобно рассмотреть цепь молекул, расположенных друг от друга на фиксированном расстоянии  $l$ . Предположим, что молекулы могут совершать только повороты вокруг оси цепи. Пусть переменная  $\phi_n(t)$  задает поворот  $n$ -го мономера цепи в неподвижной системе координат. Тогда безразмерный гамильтониан системы будет иметь вид

$$H = \sum_n \left\{ \frac{1}{2} \dot{\phi}_n^2 + U(\phi_{n+1} - \phi_n) \right\}, \quad (1)$$

где точка обозначает дифференцирование по времени  $t$ , а потенциал междоузельного взаимодействия (потенциал вращения)  $U(\phi)$  — неотрицательная периодическая функция с периодом  $2\pi$ , удовлетворяющая условиям  $U(0) = 0$ ,  $U'(0) = 0$ ,  $U''(0) = 1$ .

Для определенности возьмем потенциал взаимодействия в простейшем виде

$$U(\phi) = 1 - \cos \phi. \quad (2)$$

## 2. Термализация цепи

При численном моделировании теплопроводности цепи обычно используется термостат Нозе–Хувера [3,4,6]. В работе [12] показано, что использование этого термостата не обеспечивает корректную термализацию цепи. Поэтому воспользуемся классическим термостатом Ланжевена.

Рассмотрим конечную цепь из  $N$  звеньев с концами, погруженными в термостат Ланжевена, с температурой  $T_+$  и  $T_-$ . Соответствующая система уравнений движения цепи имеет вид

$$\begin{aligned} \ddot{\phi}_n &= F(\phi_{n+1} - \phi_n) - F(\phi_n - \phi_{n-1}) - \gamma \dot{\phi}_n + \xi_n, \\ n &= 1, \dots, N_0; \\ \ddot{\phi}_n &= F(\phi_{n+1} - \phi_n) - F(\phi_n - \phi_{n-1}), \\ n &= N_0 + 1, \dots, N - N_0; \\ \ddot{\phi}_n &= F(\phi_{n+1} - \phi_n) - F(\phi_n - \phi_{n-1}) - \gamma \dot{\phi}_n + \eta_n, \\ n &= N - N_0 + 1, \dots, N, \end{aligned} \quad (3)$$

где  $F(\phi) = dU(\phi)/d\phi$ ;  $N_0$  — длина погруженных в термостат концевых участков цепи;  $\gamma$  — коэффициент релаксации, а  $\xi_n, \eta_n$  — моделирующий взаимодействие с термостатом белый гауссовский шум ( $\langle \xi_n(t) \rangle = 0$ ,  $\langle \eta_k(t) \rangle = 0$ ,  $\langle \xi_n(t_1) \eta_n(t_2) \rangle = 0$ ,  $\langle \xi_n(t_1) \xi_k(t_2) \rangle = 2\gamma T_+ \delta_{nk} \delta(t_2 - t_1)$ ,  $\langle \eta_n(t_1) \eta_k(t_2) \rangle = 2\gamma T_- \delta_{nk} \delta(t_2 - t_1)$ ).

Система уравнений движения (3) интегрировалась численно. После наступления теплового равновесия в цепи устанавливался температурный градиент

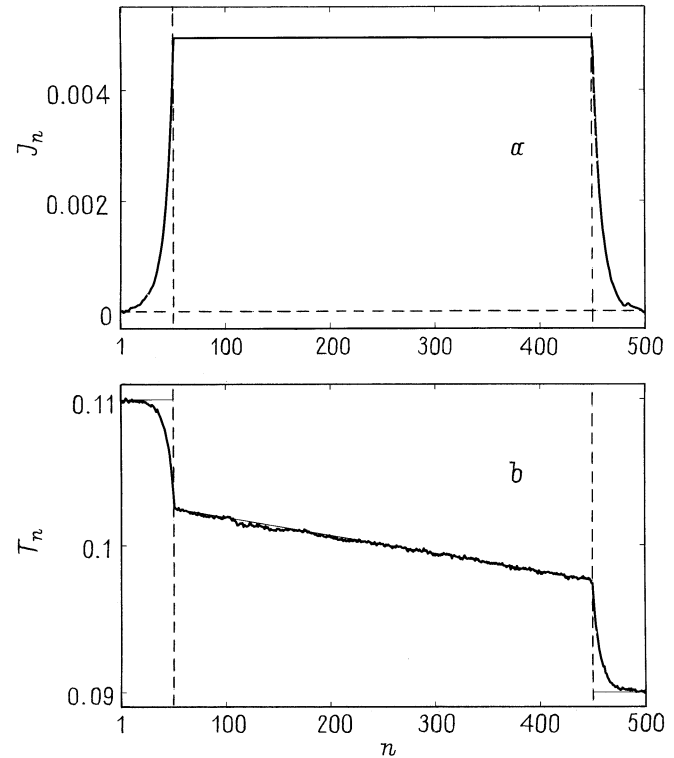
$$T_n = \langle \dot{\phi}_n^2(t) \rangle_t = \lim_{t \rightarrow \infty} \frac{1}{t} \int_0^t \dot{\phi}_n^2(\tau) d\tau \quad (4)$$

и локальный тепловой поток

$$J_n = \langle j_n(t) \rangle_t = \lim_{t \rightarrow \infty} \frac{1}{t} \int_0^t j_n(\tau) d\tau, \quad (5)$$

где  $j_n = -[F(\phi_{n+1} - \phi_n) + F(\phi_n - \phi_{n-1})] \dot{\phi}_n / 2$ . Использовались значения  $\gamma = 0.1$ ,  $N_0 = 50$ ,  $N = 150, 200, 300, 500, 700, 900, 1300, 1700, 2100, 2400$  и начальные условия, соответствующие основному состоянию цепи  $\{\phi_n = 0, \dot{\phi}_n = 0\}_{n=1}^N$ . За время  $t = 10^5$  решетка приходила в тепловое равновесие с термостатом. Средние значения (4), (5) находились из последующей динамики системы в течение времени  $t = 10^6 - 10^7$ .

Данный способ термализации цепи позволяет решить проблему граничных условий. Распределение в цепи теплового потока  $J_n$  и температурного профиля  $T_n$  показывает (рис. 1), что на внутреннем участке цепи  $N_0 < n \leq N - N_0$  мы имеем свободный тепловой поток. Температурный градиент имеет линейную форму, а локальный тепловой поток не зависит от номера звена



**Рис. 1.** Распределение локального теплового потока  $J_n$  (a) и локальной температуры  $T_n$  (b) в цепи с периодическим потенциалом взаимодействия ( $N = 500$ ,  $N_0 = 50$ ,  $T_+ = 0.11$ ,  $T_- = 0.09$ , время усреднения  $t = 5 \times 10^6$ ).

цепи:  $J_n = J$ . Это позволяет определить коэффициент теплопроводности, используя только внутренний участок цепи,

$$\kappa(N_1) = JN_1 / (T_{N_0+1} - T_{N-N_0}), \quad (6)$$

где  $N_1 = N - 2N_0$  — длина этого участка. Предельное значение

$$\kappa = \lim_{N_1 \rightarrow \infty} \kappa(N_1) \quad (7)$$

будет соответствовать коэффициенту теплопроводности цепи при температуре  $T = (T_+ + T_-)/2$ .

Коэффициент теплопроводности можно также найти через формулу Грина–Кубо [13]

$$\kappa_c = \lim_{t \rightarrow \infty} \lim_{N \rightarrow \infty} \frac{1}{NT^2} \int_0^t c(\tau) d\tau, \quad (8)$$

где функция корреляции  $c(t) = \langle J_s(\tau) J_s(\tau - t) \rangle_\tau$ , а  $J_s(t) = \sum_n j_n(t)$  — общий поток тепла в цепи.

Для нахождения функции корреляции  $c(t)$  рассмотрим конечную циклическую цепь из  $N = 4000$  звеньев, полностью погруженную в термостат Ланжевена. После наступления теплового равновесия цепи с термостатом рассматривалась уже динамика изолированной цепи. Для увеличения точности нахождения функции корреляции использовалось ее среднее значение по 500 различным реализациям начальной термализации цепи.

### 3. Теплопроводность цепи с периодическим потенциалом междоузельного взаимодействия

Численное моделирование динамики цепи показало существование критического значения температуры  $0.2 < T_0 < 0.3$ . При  $T < T_0$  цепь обладает бесконечной теплопроводностью, а при  $T > T_0$  — конечной. Зависимость  $\kappa$  от  $N_1$  при температуре  $T = 0.2$  и  $0.3$  дана на рис. 2. Как видно из рисунка, при  $T = 0.2$  с ростом длины цепи  $N_1$  теплопроводность  $\kappa$  увеличивается как степень  $N_1^{0.26}$ . Таким образом, предел (7) равен бесконечности. При  $T = 0.3$  с ростом  $N_1$  теплопроводность  $\kappa(N_1)$  стремится к конечному значению  $\kappa = 31.8$ , т.е. при этом значении температуры цепь обладает конечной теплопроводностью. Зависимость  $\kappa(N_1)$  при температуре  $T = 1$  приведена в таблице.

Зависимость коэффициента теплопроводности  $\kappa$  от длины внутреннего участка цепи  $N_1$  и значение теплопроводности  $\kappa_c$ , полученное при помощи формулы Грина–Кубо, при температуре  $T = (T_+ + T_-)/2$

$T_+$	$T_-$	$\kappa(50)$	$\kappa(100)$	$\kappa(200)$	$\kappa(400)$	$\kappa(600)$	$\kappa(800)$	$\kappa_c$
0.33	0.27	21.14	23.67	25.96	29.04	29.59	29.54	28.47
1.1	0.9	0.506	0.574	0.634	0.572	0.613	0.612	0.55

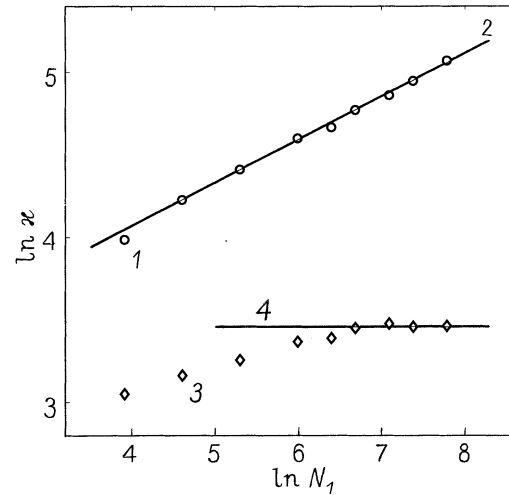


Рис. 2. Зависимость натурального логарифма коэффициента теплопроводности  $\kappa$  от натурального логарифма длины внутреннего участка цепи  $N_1$ . Маркеры 1 дают полученные численные значения при температуре  $T = 0.2$  ( $T_+ = 0.21$ ,  $T_- = 0.19$ ). Аппроксимирующая эту зависимость прямая 2 имеет наклон  $\delta = 0.26$ . Маркеры 3 дают значения при  $T = 0.3$  ( $T_+ = 0.33$ ,  $T_- = 0.27$ ). Аппроксимирующая эту зависимость прямая 4 имеет нулевой наклон ( $\kappa = 31.8$ ).

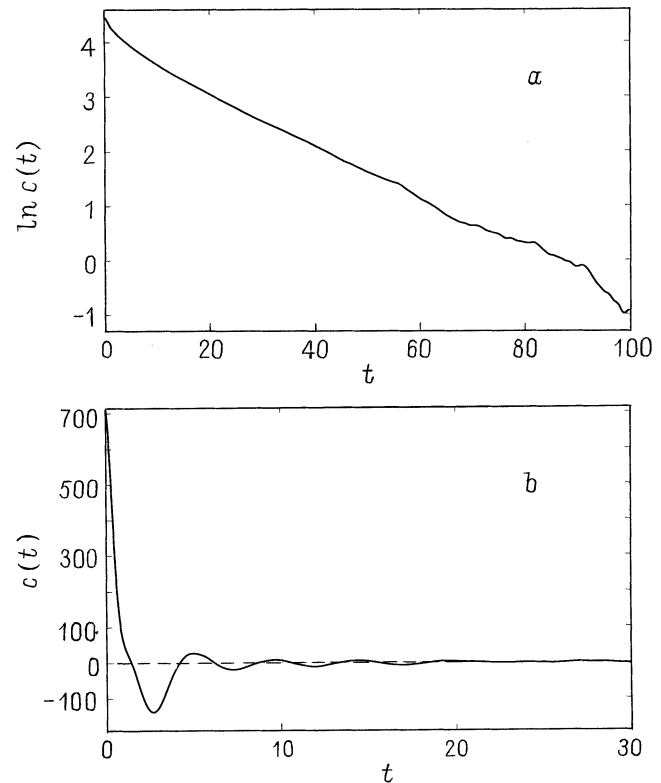


Рис. 3. Экспоненциальное убывание функции корреляции  $c(t)$  при температуре  $T < 2$  (a) (температура  $T = 0.5$ , теплопроводность  $\kappa_c = 5.044$ ) и осцилляции функции при  $T > 2$  (b) (температура  $T = 2.5$ , теплопроводность  $\kappa_c = 0.014$ ).

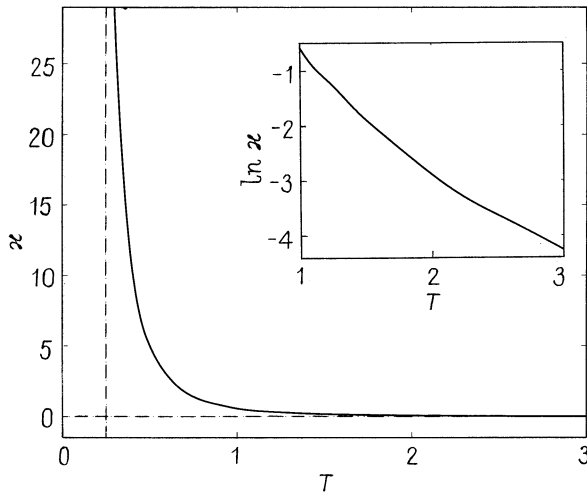


Рис. 4. Зависимость коэффициента теплопроводности  $\kappa$  от температуры цепи  $T$ .

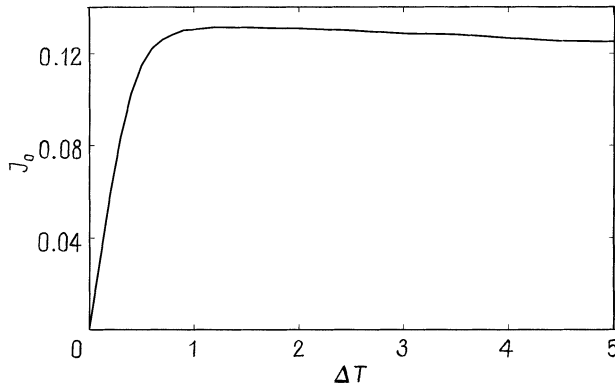


Рис. 5. Зависимость теплового потока  $J_0$  от разности температур  $\Delta T$  ( $N = 300$ ,  $N_0 = 50$ ,  $T_+ = \Delta T$ ,  $T_- = 0$ ).

Изучение поведения функции корреляции  $c(t)$  при  $t \rightarrow \infty$  подтвердило утверждение о конечности теплопроводности цепи. При температуре  $T > T_0$  функция корреляции стремится к нулю с экспоненциальной скоростью, откуда следует сходимость интеграла в формуле (8) и, следовательно, конечность значения  $\kappa_c$ . Характер убывания функции корреляции с ростом времени хорошо виден на рис. 3. При  $T_0 < T < 2$  функция монотонно стремится к нулю (рис. 3, а). При  $T > 2$  (рис. 3, б)  $c(t)$  ведет себя как осциллирующая убывающая функция (осцилляции способствуют более быстрой сходимости интеграла в формуле (8)). Таблица показывает, что использованные два способа определения коэффициента теплопроводности дают очень близкие значения.

Рассмотрим зависимость коэффициента теплопроводности  $\kappa$  от температуры цепи  $T$ . Вычисление теплопроводности по формуле Грина–Кубо (8) показало, что  $\kappa$  монотонно уменьшается с увеличением температуры. Вид зависимости приведен на рис. 4. При  $T \rightarrow T_0$  теплопроводность стремится к бесконечности, а при  $T \rightarrow \infty$  — экспоненциально убывает.

#### 4. Зависимость теплового потока от градиента температуры

Рассмотрим теперь зависимость величины теплового потока  $J$  от разности температур  $\Delta T$ . Для этого возьмем конечную цепь из  $N = 300$  звеньев с нулевой температурой на правом конце ( $T_- = 0$ ). Тогда разность температур составляет  $\Delta T = T_+$ . Величину теплового потока здесь можно определить как работу силы трения на правом конце цепи

$$J_0 = \gamma \sum_{n=N-N_1+1}^N T_n. \quad (9)$$

Численное интегрирование системы уравнений движения (3) показывает, что это значение совпадает с величиной локального теплового потока во внутреннем участке цепи:  $J_n = J_0$ ,  $n = N_1 + 1, \dots, N - N_1$ . Это совпадение подтверждает корректность определения локального теплового потока (5).

Зависимость теплового потока  $J_0$  от разности температур  $\Delta T$  представлена на рис. 5. Как видно из данных рисунка, величина теплового потока монотонно растет с увеличением температуры. При температуре  $T = T_r = 1.3$  величина потока достигает максимального значения (происходит насыщение). Дальнейшее увеличение температуры приводит к постепенному уменьшению потока. Такое необычное поведение системы связано со специфическими свойствами фононов и с наличием в цепи при больших значениях температуры локализованных вращательных мод, препятствующих движению фононов. Рассмотрим детально свойства этих возбуждений.

#### 5. Периодические волны постоянного профиля

Изучим дисперсионный закон нелинейных периодических волн

$$\phi_n(t) = \phi(n - st) \equiv \phi(z), \quad (10)$$

где  $z$  — волновая переменная ( $z = n - st$ ), а  $\phi(z)$  — периодическая функция с периодом  $L$  ( $\phi(z + L) \equiv \phi(z)$ ). В малоамплитудном приближении ( $|\phi(z)| \ll \pi$ ) дисперсионное уравнение имеет вид

$$\omega^2(q) = 2(1 - \cos q), \quad (11)$$

где волновое число  $q = 2\pi/L$ , длина волны  $L \geq 2$ . Фазовая скорость волны  $s = \omega(q)/q$  (скорость малоамплитудных длинноволновых фононов  $s_0 = \lim_{q \rightarrow 0} \omega(q)/q = 1$ ).

Нелинейность потенциала междоузельного взаимодействия приводит к тому, что скорость (частота) периодической волны (10) зависит не только от длины  $L$ , но и от ее амплитуды  $A$ .

Для нахождения формы и скорости волны воспользуемся псевдоспектральным методом [14]. Численный анализ показал, что для каждой длины волны  $L \geq 2$

существует максимальное значение амплитуды  $A(L)$ . Амплитуда периодической волны не может превышать его ( $A \leq A(L)$ ), а амплитуда относительных поворотов молекул цепи  $A_\phi = \max|\phi(z+1) - \phi(z)|$  не превышает своего естественного максимального значения, равного  $\pi$ . Периодические волны обладают свойством энергетического насыщения. Существует максимальное значение энергии  $E(L)$ , соответствующее температуре  $T(L) \simeq 1.8$ .

Проведенное исследование периодических волн позволяет заключить, что в цепи связанных ротаторов существует критическое значение температуры  $T_0 \approx 1.8$ , выше которой не возможно термализовать колебательные моды цепи. При  $T = T_0$  происходит насыщение колебательных мод, они становятся неустойчивыми и начинают сбрасывать лишнюю энергию. При дальнейшем росте температуры общая энергия колебательных мод цепи не возрастает. Нелинейность колебательных мод обусловлена отрицательным ангармонизмом потенциала междоузельного взаимодействия и поэтому приводит к монотонному росту их теплоемкости с ростом температуры.

## 6. Локализованные ротационные моды

Ограниченность энергии междоузельного взаимодействия приводит к возможности существования в цепи локализованных ротационных мод, детально изученных для более общей системы в работе [15]. Ротационная мода соответствует вращению одной молекулы при почти неподвижных соседях. Динамика моды в первом приближении аппроксимируется вращением одной молекулы при неподвижных соседях. В этом приближении движение молекулы будет описываться уравнением маятника. При энергии  $E \geq \max U(\phi) = 2$  движение молекулы будет соответствовать равномерному вращению. С ростом энергии  $E$  частота вращения  $\omega$  будет монотонно увеличиваться от 0 до  $+\infty$ . Движение соседних молекул оказывает влияние на вращение. Численное моделирование вращения показало, что такое локализованное возбуждение будет устойчиво только при частоте  $\omega \geq \omega_0 = 2.173$ . Зависимость энергии ротационной моды от частоты хорошо аппроксимируется параболой  $\omega^2/2$ , соответствующей энергии свободного вращения одной молекулы цепи. С ростом энергии теплоемкость моды монотонно уменьшается и при  $E \rightarrow \infty$  стремится к  $1/2$  (к теплоемкости изолированного ротатора).

Таким образом, в рассматриваемой системе, кроме фононов (нелинейных колебательных мод), имеющих частотный спектр  $0 \leq \omega \leq 2$ , имеются локализованные ротационные моды с частотным спектром  $\omega \geq \omega_0 > 2$ . Появление в цепи ротационных мод должно приводить к уменьшению теплоемкости системы.

## 7. Распределение энергии тепловых колебаний по нелинейным модам

Рассмотрим распределение энергии тепловых колебаний цепи по частотам. Для этого численно найдем плотность распределения частотного спектра функции  $\dot{\phi}_n(t) \exp[i\phi_n(t)]$ .

В цепи с гармоническим потенциалом взаимодействия  $U(\phi) = \phi^2/2$  плотность распределения энергии

$$E(\omega) = 2T/\pi \sqrt{\omega_a^2 - \omega^2}, \quad 0 \leq \omega \leq \omega_n, \quad (12)$$

где максимальная частота фононов  $\omega_a = 2$ .

При низкой температуре  $T = 0.1$  распределение энергии практически совпадает с распределением (12). Здесь вся энергия приходится на колебательные моды с частотой  $\omega < \omega_0$ . Увеличение температуры приводит к смещению спектра в область частот локализованных вращений  $\omega > \omega_0$  (рис. 6). Определим энергию терма-

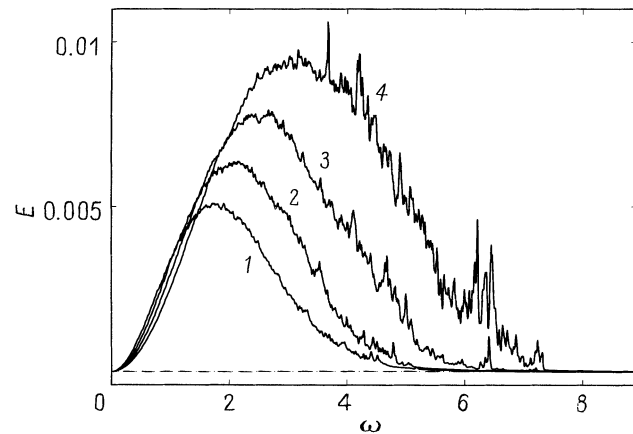


Рис. 6. Распределение энергии  $E$  тепловых колебаний частицы цепи по частотам  $\omega$  при температуре  $T = 1.4, 2, 3, 5$  (кривые 1, 2, 3, 4 соответственно).

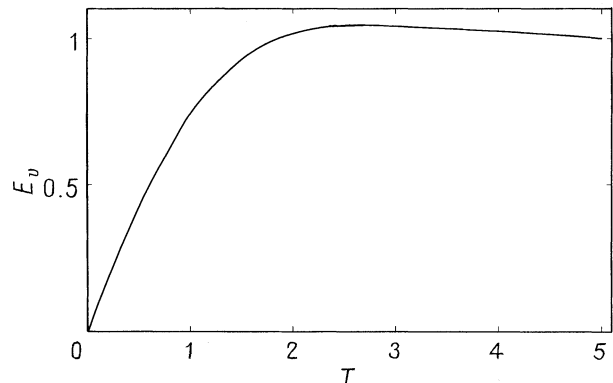


Рис. 7. Зависимость энергии термализации фононов  $E_v$  от температуры цепи  $T$ . Дана энергия, приходящаяся на одно звено цепи.

лизации колебательных мод как

$$E_v = \int_0^{\omega_0} E(\omega) d\omega.$$

Зависимость  $E_v$  от температуры  $T$  представлена на рис. 7. При  $T \ll 2$  энергия  $E_v$  растет пропорционально температуре. Рост энергии заметно уменьшается при  $T \approx 1$ . При  $T = 2.5$  энергия достигает своего максимального значения. Дальнейшее увеличение температуры приводит только к ее незначительному уменьшению. Как мы и предсказывали выше, происходит насыщение энергией низкочастотных колебательных мод. Дальше повышение температуры приводит только к росту энергии стационарных локализованных ротационных мод.

Поскольку перенос энергии в цепи могут осуществлять только фононы (колебательные моды), то их энергетическое насыщение объясняет необычную зависимость величины теплового потока  $J_o$  от градиента температуры  $\Delta T$  (рис. 5). Однако сам эффект насыщения не может быть причиной конечной теплопроводности цепи. Для ее объяснения необходимо рассмотреть взаимодействия фононов с локализованными ротационными модами.

## 8. Влияние локализованных возбуждений на транспорт энергии

Ротационные моды (локализованные вращения) являются стационарными возбуждениями цепи, они не могут участвовать в переносе тепловой энергии и должны приводить к уменьшению теплопроводности цепи. Изучим их взаимодействие с тепловыми фононами. Для этого рассмотрим цепочку из  $N = 300$  молекул с температурой на левом конце  $T_+ = 0.02 > 0$ , а на правом — с  $T_- = 0$ . Возьмем в начальный момент времени цепочку в основном состоянии  $\phi_n \equiv 0, \dot{\phi}_n \equiv 0$  и поместим в центре цепи на узле  $n = N/2$  ротационную моду, имеющую энергию  $E = 16$ . Рассмотрим теплоперенос в цепи. На рис. 8 показаны: зависимость распределения энергии в цепи  $E_n$  (а) и зависимость энергии моды (локализованного вращения)  $E$  от времени  $t$  (б). Как видно из рисунка, локализованная мода в центре цепи препятствует прохождению всех тепловых фононов. В результате происходит термализация только левой половины цепи — правая половина остается нетермализованной (рис. 8, а). Давление фононов на локализованную моду в центре цепи приводит к ее постепенному разрушению. Энергия моды монотонно уменьшается (рис. 8, б). В момент времени  $t = 28\,000$  локализованное возбуждение разрушается и в цепи возникает тепловой поток. Проведенное моделирование позволяет сделать вывод о препятствии локализованных возбуждений теплопереносу в цепи и о конечности времени их жизни в термализованной цепи.

Для изучения влияния локализованных мод на перенос энергии рассмотрим релаксацию тепловой энергии цепи.

Для этого возьмем конечную цепь из  $N = 300$  звеньев. Погрузим ее в термостат Ланжевена и удалим его после термализации цепи. Введем на концах цепи трение, обеспечивающее поглощение энергии (для этого достаточно в системе уравнений движения (3) положить  $T_+ = T_- = 0$ ). Численное моделирование динамики показало наличие в цепи локализованных ротационных мод. При температуре  $T = 1$  они обладают небольшим временем жизни. В результате взаимодействия с фононами они быстро разрушаются, не препятствуя откачке энергии из цепи (рис. 9, а). При температуре  $T = 2$  локализованные вращения обладают большим временем жизни и уже существенно влияют на механизм откачки энергии. Откачка происходит только после разрушения концевых локализованных мод. В результате этого процесса в цепи остается только одно локализованное состояние (рис. 9, б). Особенно хорошо скачкообразность откачки энергии заметна при температуре  $T = 3$  (рис. 9, с).

Таким образом, теплоперенос в цепи можно качественно описать как последовательность случайных локальных перебросов энергии, происходящих при каждом разрушении стационарной локализованной моды. С увеличением температуры энергия этих мод растет, увеличивается их время жизни и, следовательно, продолжительность интервалов между случайными перебросами энергии. Этот механизм вместе с эффектом насыщения фононов объясняет уменьшение потока энергии  $J_o$  с ростом температуры при  $T > T_o$  (рис. 5).

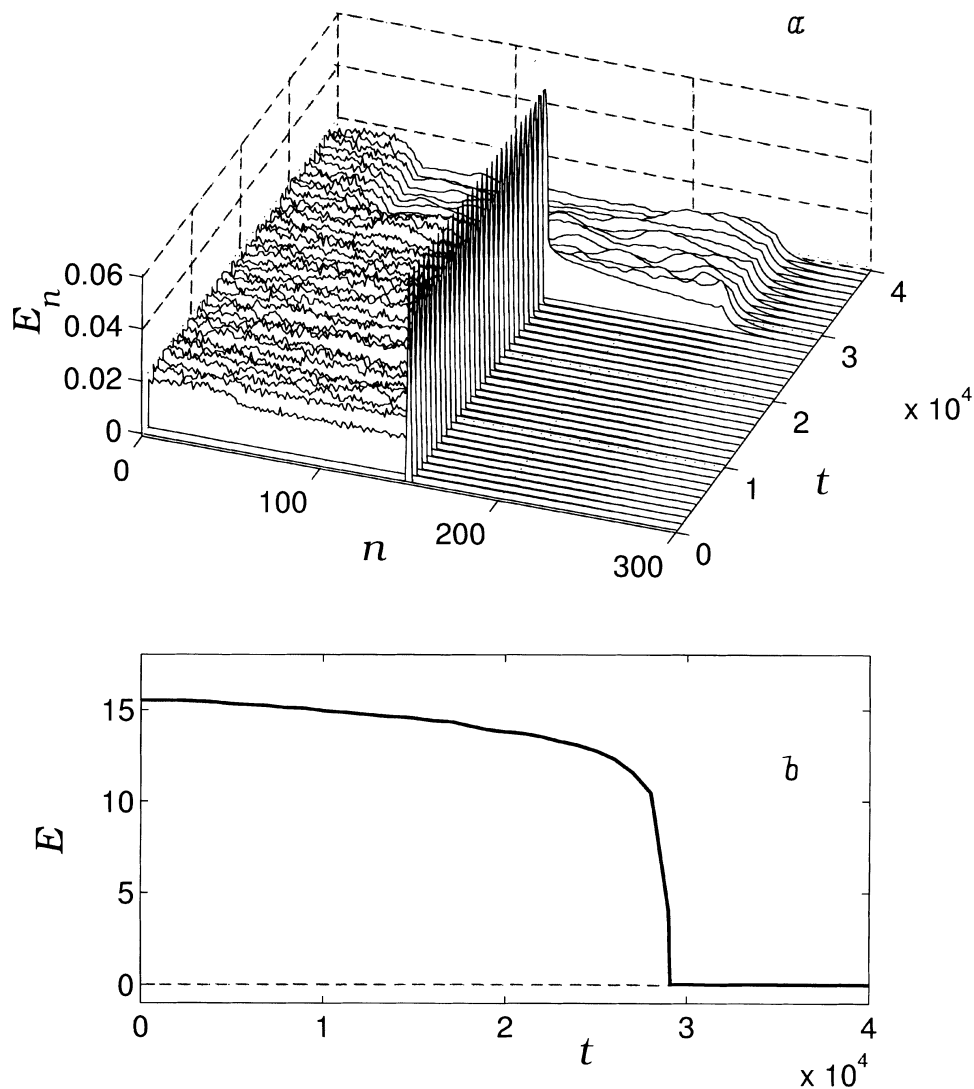
## 9. Цепь с гиперболическим потенциалом междоузельного взаимодействия

Полученные результаты, по-видимому, должны быть справедливы для цепи с любым периодическим потенциалом междоузельного взаимодействия. Конечность теплопроводности связана с наличием в цепи стационарных узлолокализованных ротационных мод, существование которых обусловлено только ограниченностью потенциала взаимодействия. Рассмотрим для сравнения цепь с неограниченным гиперболическим потенциалом взаимодействия

$$U(\phi) = \sqrt{1 + \phi^2} - 1. \quad (13)$$

Потенциал (13), так же как и периодический потенциал (2), имеет отрицательный квартетный ангармонизм, но является уже неограниченной функцией. При  $\phi \rightarrow \pm\infty$  потенциал растет как линейная функция  $\pm\phi - 1$ .

Численное моделирование показало, что цепь с потенциалом (13) имеет бесконечную теплопроводность для всего исследованного диапазона значений температуры. Коэффициент теплопроводности цепи  $\kappa$  с увеличением длины внутреннего участка цепи  $N_1$  растет как  $N_1^\delta$ , где показатель  $\delta < 1$ . Например, при температуре  $T = 2$  показатель степенного роста  $\delta = 0.29$ . Функция корреляции  $c(t)$  при всех значениях температуры стремится к



**Рис. 8.** Взаимодействие ротационной моды с тепловыми фононами. Показаны зависимость распределения энергии  $E_n$  в цепи (a) и зависимость энергии  $E$  моды от времени  $t$  (b).

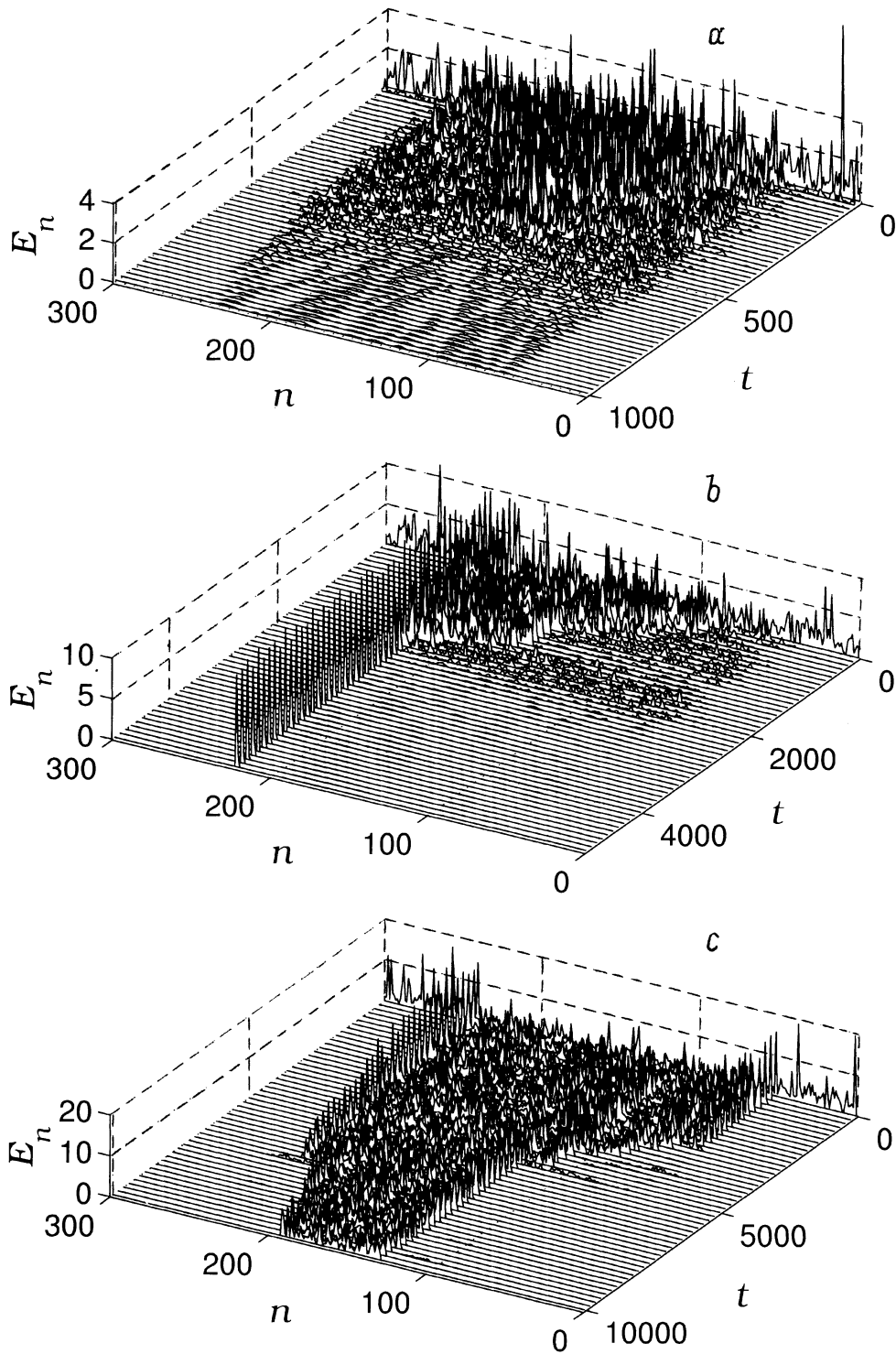
нулю со степенной скоростью  $t^\alpha$ ,  $-1 < \alpha < 0$ . Так, при  $T = 2$  показатель степени  $\alpha = -0.82$ . Отсюда следует, что интеграл в формуле Грина–Кубо (8) расходится, а теплопроводность  $\kappa_c = \infty$ . Таким образом, одна отрицательность квартетного ангармонизма (в полном соответствии с выводами работ [3–6]) не обеспечивает конечности теплопроводности. Это позволяет сделать вывод о ключевой роли ограниченности потенциала взаимодействия для конечности теплопроводности изолированной цепи.

### 10. Зависимость теплоемкости цепи от температуры

В системе с неограниченным потенциалом взаимодействия (13) теплоемкость цепи  $C = d\langle E \rangle / dT$  монотонно возрастает при росте температуры  $T$  (рис. 10). Теплоем-

кость, связанная с возбуждением периодических волн в цепи с периодическим потенциалом взаимодействия (2), тоже монотонно растет, но теплоемкость, связанная с ротационными модами, уменьшается с ростом температуры. Поэтому, как показано на рис. 10, при  $T \leq 0.4$  теплоемкость растет, а при  $T \geq 0.4$  — монотонно уменьшается. Отсюда можно сделать вывод, что в первом интервале температур основной вклад в теплоемкость системы вносят колебательные моды, а во втором — ротационные моды. Таким образом, при  $T \leq 0.4$  главный вклад в нелинейную динамику вносит отрицательная ангармоничность, а при  $T > 0.4$  — ограниченность потенциала взаимодействия. Температура, соответствующая максимуму теплоемкости, близка к температуре перехода от бесконечной к конечной теплопроводности.

В цепи с ограниченным потенциалом взаимодействия теплоемкость  $C \rightarrow 1/2$  при  $T \rightarrow \infty$ . Значение теплоемкости  $C = 1/2$  соответствует системе несвя-

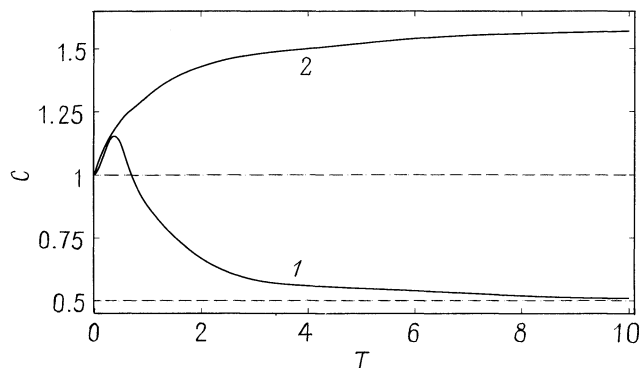


**Рис. 9.** Релаксации энергии термализованной цепи при температуре  $T = 1$  (a), 2 (b) и 3 (c). Дана зависимость локальной энергии  $E$  от номера звена цепи  $n$  и времени  $t$ . В начальный момент времени система имеет температуру  $T$ , далее рассматривается динамика цепи с поглощающими концами ( $N = 300$ ,  $N_0 = 50$ ,  $T_+ = T_- = 0$ ).

занных частиц. На качественном уровне можно сказать, что с ростом температуры происходит фазовый переход системы связанных частиц в систему свободных частиц.

Таким образом, проведенное исследование показало, что в цепи одинаковых ротаторов с периодическим по-

тенциалом взаимодействия ближайших соседей наблюдается переход от бесконечной к конечной теплопроводности с ростом температуры. Это не противоречит основному результату работы [5], в которой показано, что любая изолированная одномерная цепочка должна



**Рис. 10.** Зависимость теплоемкости  $C$  от температуры  $T$  для цепи с периодическим (кривая 1) и гиперболическим (кривая 2) потенциалами взаимодействия.

обладать бесконечной теплопроводностью, связанной с отсутствием рассеяния длинноволновых фононов. Аргументация этой работы справедлива только для малоамплитудных деформаций, т. е. для низких температур.

С ростом температуры в рассматриваемой цепи образуются локализованные ротационные возбуждения, препятствующие свободному движению фононов. Заметим, что в цепи ФПУ [3–5] тоже существуют локализованные возбуждения — дискретные бризеры. Принципиальным отличием является то, что они не препятствуют движению длинноволновых фононов. Они могут только отфильтровывать фононы с определенной длиной волны [16], а ротационные возбуждения препятствуют движению всех фононов независимо от длины их волны и частоты.

Фононы в рассматриваемой цепи обладают конечной энергоемкостью. С ростом температуры их энергия растет, пока не достигнет максимального значения. Дальнейшее увеличение температуры не приводит уже к росту энергии. Периодические волны становятся неустойчивыми, вся их лишняя энергия при распаде идет на образование препятствующих теплопереносу стационарных ротационных возбуждений. Сам механизм теплопереноса в этом случае можно описать как последовательность случайных локальных перебросов энергии, происходящих при каждом разрушении стационарного возбуждения. Этот механизм объясняет уменьшение теплопроводности цепи при увеличении температуры. Действительно, ведь с ростом температуры растет энергия только локализованных возбуждений. Увеличивается их время жизни и, следовательно, уменьшается частота локальных перебросов энергии. Теплоемкость цепи монотонно уменьшается с ростом температуры и стремится к значению  $1/2$ , соответствующему теплоемкости системы несвязанных частиц. В пределе высоких температур рассматриваемая система превращается в цепь несвязанных ротаторов с нулевой теплопроводностью.

## Список литературы

- [1] E. Fermi, J. Pasta, S. Ulam. Los Alamos Rpt *LA-1940* (1955).
- [2] О.В. Гендельман, Л.И. Маневич. *ЖЭТФ* **102**, 511 (1992).
- [3] S. Lepri, L. Roberto, A. Politi. *Phys. Rev. Lett.* **78**, 1896 (1997).
- [4] S. Lepri, R. Livi, A. Politi. *Physica* **D119**, 140 (1998).
- [5] S. Lepri, R. Livi, A. Politi. *Europhys. Lett.* **43**, 271 (1998).
- [6] T. Hatano. *Phys. Rev.* **E59**, R1 (1999).
- [7] G. Casati, J. Ford, F. Vivaldi, V.M. Visscher. *Phys. Rev. Lett.* **52**, 1861 (1984).
- [8] T. Prosen, M. Robnik. *J. Phys.* **A25**, 3449 (1992).
- [9] M.J. Gillan, R.W. Holloway. *J. Phys.* **C18**, 5705 (1985).
- [10] B. Hu, B. Li, H. Zhao. *Phys. Rev.* **E57**, 2992 (1998).
- [11] G.P. Tsironis, A.R. Bishop, A.V. Savin, A.V. Zolotaryuk. *Phys. Rev.* **E60**, 6610 (1999).
- [12] A. Fillipov, B. Hu, B. Li, A. Zeltser. *J. Phys.* **A31**, 7719 (1998).
- [13] R. Kubo, M. Toda, N. Hashitsume. *Statistical Physics II*. Springer Ser. Solid State Sci. **31** (1991).
- [14] J.C. Eilbeck, R. Flesch. *Phys. Lett.* **A194**, 200 (1990).
- [15] S. Takeno, M. Peyrard. *Physica* **D92**, 140 (1996).
- [16] S. Flach, C.H. Willis. *Physics Reports* **295**, 181 (1998).